

بررسی نقش اپی ژنتیکی ژن‌های RUNX2 و DLX5 در تمایز استئوبلاستیک سلول‌های بنیادی مزانشیمی ناشی از داروی زولدرونیک اسید

مجید فرش دوستی حق^۱، مهرداد نوروزی نیا^{۲*}، یوسف مرتضوی^۳، مسعود سلیمانی^۴، سعید کاویانی^۴،
مریم محمودی نیا میمند^۴

۱- دانشجوی دکتری تخصصی، گروه هماتولوژی، دانشکده علوم پزشکی، دانشگاه تربیت مدرس، تهران، ایران

۲- استادیار، گروه هماتولوژی، دانشکده علوم پزشکی، دانشگاه تربیت مدرس، تهران، ایران

۳- دانشیار، گروه هماتولوژی، دانشکده علوم پزشکی، دانشگاه علوم پزشکی زنجان، زنجان، ایران

۴- کارشناسی ارشد، مرکز تحقیقات سلولی مولکولی و سلول‌های بنیادی صارم، تهران، ایران

پذیرش مقاله: ۸۹/۱۲/۱۰

دریافت مقاله: ۸۹/۱۱/۰۱

چکیده

هدف: زولدرونیک اسید به‌عنوان یکی از درمان‌های بیماری استئوپوروز در تمایز سلول‌های بنیادی مزانشیمی نقش دارد. با این حال مکانیسم اثر این دارو در القای تمایز استئوبلاستیک سلول‌های بنیادی مزانشیمی هنوز به‌خوبی شناخته نشده است. بر این اساس در این تحقیق تأثیر زولدرونیک اسید روی متیلاسیون پروموتور ژن‌های RUNX2 و DLX5 ارزیابی شد.

مواد و روش‌ها: سلول‌های بنیادی مزانشیمی انسانی پس از جداسازی و تکثیر، تحت تیمار ضربانی با زولدرونیک اسید با غلظت نهایی ۵ میکرومولار به مدت ۳ ساعت قرار گرفتند و به مدت ۳ هفته در محیط تمایزی کشت داده شدند. استخراج DNA در هفته‌های اول، دوم و سوم تمایز استئوبلاستیک و همچنین از سلول‌های بنیادی مزانشیمی صورت گرفت. پس از تیمار DNA با سدیم بی‌سولفیت، آزمایش PCR اختصاصی متیلاسیون با استفاده از آغازگرهای متیله و غیرمتیله به‌منظور ارزیابی متیلاسیون پروموتور ژن‌های RUNX2 و DLX5 انجام شد.

نتایج: نتایج آزمایش PCR اختصاصی متیلاسیون با آغازگرهای متیله و غیرمتیله برای ژن‌های RUNX2 و DLX5 در سلول‌های تمایز یافته استئوبلاستی و سلول‌های بنیادی مزانشیمی مثبت بود. بر این اساس وضعیت متیلاسیون ناحیه پروموتوری ژن‌های RUNX2 و DLX5 نشان دهنده متیلاسیون ناکامل است.

نتیجه‌گیری: ژن‌های RUNX2 و DLX5 در تمایز استئوبلاستیک ناشی از داروی زولدرونیک اسید تغییر آرایش متیلاسیون نمی‌دهند. نتایج بررسی حاضر نشان داد که زولدرونیک اسید به‌واسطه مکانیسم‌های اپی ژنتیکی به‌ویژه متیلاسیون پروموتور منجر به تمایز استئوبلاستیک سلول‌های بنیادی مزانشیمی نمی‌شود. بر این اساس، مکانیسم اثر داروی زولدرونیک اسید در سلول‌های بنیادی مزانشیمی در القای تمایز می‌تواند یک مسیر مستقل از تغییرات اپی ژنتیکی در این دو ژن باشد.

کلیدواژه‌ها: زولدرونیک اسید، متیلاسیون DNA، سلول‌های بنیادی مزانشیمی، تمایز استئوبلاستی

۱- مقدمه

بافت استخوانی به واسطه حضور و فعالیت چهار نوع سلول استخوانی شامل استئوبلاست (Osteoblast)، استئوسیت (Osteocyte)، استئوکلاست (Osteoclast) و سلول‌های آستری (Lining cells) همواره در حال بازسازی بوده و به‌عنوان یک بافت پویا و زنده است. بافت‌های جدید استخوانی توسط استئوبلاست‌ها ساخته می‌شوند. این سلول‌ها ماتریکس ارگانیک استخوان را از طریق ترشح تعداد زیادی از پروتئین‌های خارج سلولی سنتز می‌کنند. علاوه بر سنتز ماتریکس خارج سلولی، استئوبلاست‌ها در فرایند زیست‌کانی‌سازی و کنترل عملکرد استئوکلاست‌ها مشارکت دارند. استئوبلاست‌ها از سلول‌های بنیادی مزانشیمی (Mesenchymal Stem Cells: MSCs) موجود در مغز استخوان منشأ می‌گیرند. فاکتورهای نسخه‌برداری متعددی در تمایز استئوبلاستی نقش دارند که در این بین فاکتورهای نسخه‌برداری RUNX2 و DLX5 نقش مهمی را ایفا می‌کنند. RUNX2 برای تمایز استئوبلاستی و ریخت‌زایی اسکلتی ضروری بوده و به‌عنوان داربستی برای اسیدهای نوکلئیک و فاکتورهای تنظیمی دخیل در بیان ژن‌های اسکلتی عمل می‌کند. جهش‌های این ژن با اختلالات تکامل استخوان همراه است [۱]. DLX5 در تکامل استخوان و بهبود شکستگی‌های استخوان نقش داشته و تحقیقات اخیر نشان داده است که DLX5، بیان نشانگرهای زودرس تمایز استئوژنیک را تسریع می‌کند و میزان زیست‌کانی‌سازی بعد از تولد را افزایش می‌دهد [۲، ۳].

MSCs به غیر از استئوبلاست‌ها می‌توانند سایر انواع سلولی همانند کندروسیت، فیبروبلاست، آدیپوسیت و میوبلاست‌ها را نیز تولید کنند [۴، ۵]. شناسایی MSCs به‌واسطه حداقل ۳ معیار زیر صورت می‌گیرد: (۱) خاصیت چسبندگی به سطوح پلاستیکی در شرایط کشت استاندارد، (۲) وجود نشانگرهای سطحی CD90، CD73، CD105 و عدم وجود نشانگرهای سطحی CD19، CD79 α ، CD11b، CD14، CD34، CD45 و HLA-DR (Human Leukocyte Antigen DR) در سطح

این سلول‌ها، (۳) قابلیت تمایز به استئوبلاست، آدیپوسیت و کندروبللاست در شرایط آزمایشگاهی (In vitro) [۶]. امروزه MSCs به دلیل توانایی تمایز به چندین رده سلولی و همچنین در دسترس بودن آن‌ها، سلول‌های مهمی در پزشکی ترمیمی و سلول درمانی محسوب می‌شوند [۷-۹]. در عین حال، مکانیسم‌های کنترلی تمایز و تکثیر MSCs به رده‌های مختلف سلولی همانند استئوبلاست‌ها هنوز به‌خوبی شناخته نشده است. زولدرونیک اسید (Zoledronic Acid) یک آمینو بی‌فسفونات است که برای پیشگیری از شکستگی‌های اسکلتی در بیماران مختلف مورد استفاده قرار می‌گیرد. در سال ۲۰۰۷، اداره غذا و داروی آمریکا (Food and Drug Administration: FDA) مجوز استفاده از این دارو برای درمان استئوپوروز (Osteoporosis) در زنان یائسه را صادر کرد. تحقیقات نشان داده است که مصرف زولدرونیک اسید میزان شکستگی مهره‌ها را به‌شدت کاهش می‌دهد و چگالی استخوان‌ها را بهبود می‌بخشد [۱۰]. تأثیر ضربانی زولدرونیک اسید به‌مدت ۳ ساعت منجر به القا نشانگرهای استئوژنیک در hMSC می‌شود که با تسریع تمایز MSCs به استئوبلاست همراه است [۱۱]. در عین حال، مکانیسم اثر داروی زولدرونیک اسید به‌طور کامل شناخته شده نیست. بنابراین بررسی تأثیر داروی زولدرونیک اسید برای درمان استئوپوروز با رویکرد شناخت تأثیرات اپی ژنتیکی آن‌ها، می‌تواند راه‌کارهای مناسبی جهت درک مکانیسم اثر دارو و درمان مناسب برای بیماری‌های استخوانی به‌ویژه استئوپوروز ارائه دهد.

یکی از مکانیسم‌های کنترل بیان ژن، فرایندهای اپی ژنتیکی است که شامل متیلاسیون DNA اغلب در نواحی پروموتور ژن‌ها و پیرایش‌های هیستونی اعم از استیلاسیون، داستیلاسیون، متیلاسیون، فسفوریلاسیون و ... است. تحقیقات متعددی نشان داده است که تغییرات اپی ژنتیکی به‌عنوان یکی از مکانیسم‌های مؤثر در تمایز سلول‌های بنیادی است [۱۲، ۱۳]. تحقیقات گروه ما توانسته است از نقش اپی ژنتیکی ژن Receptor Orphan ROR2 (Receptor Orphan ROR2) در تمایز استئوبلاستی پرده

سانتی‌گراد با دی‌اکسید کربن ۵ درصد به مدت یک شب (Overnight) کشت داده شدند [۱۶]. سلول‌های تک هسته‌ای قبل از کشت شمارش شده و درصد زنده بودن (Viability) آن‌ها مشخص شد. برای این منظور ۱۰ میکرولیتر از مخلوط سلولی با ۱۰ میکرولیتر تریپان بلو (Trypan Blue) مخلوط شده و با لام نوبار شمارش شدند. روز بعد محیط کشت از فلاسک خالی شده و سلول‌های چسبیده به سطح فلاسک سه بار با ۲۰ میلی‌لیتر بافر PBSA (Phosphate Buffered Saline) شستشو داده شدند. محیط سلول‌های چسبیده تعویض شده و تا یک هفته کشت داده شدند تا به هم‌شاری (Confluency) ۶۰-۷۰ درصد رسیده و سپس با تریپسین (Trypsin) جدا شده و پاساژ داده شدند. تمایز استئوبلاستیک MSCs در پاساژ ۲-۳ انجام شد. برای تهیه محیط تمایزی استئوبلاستی از محیط کشت عمومی DMEM، L-گلوتامین و ۱۰ درصد FBS استفاده شد که به این محیط کشت فاکتورهای دگزامتازون (Dexamethasone) با غلظت نهایی ۱۰ نانومولار، بتا-گلیسرول فسفات با غلظت نهایی ۵ میلی‌مولار و آسکوربات-۲ فسفات با غلظت نهایی ۵۰ میکروگرم بر میلی‌لیتر اضافه شد. MSCs استخراج شده برای تأیید ماهیت، فلوسیتومتری شدند [۱۷].

۲-۲- تمایز MSCs با زولدرونیک اسید

داروی زولدرونیک اسید در ویال حاوی ۴ میلی‌گرم پودر زولدرونیک اسید از شرکت دارویی Novartis تهیه شد. این دارو محلول در آب بوده و همچنین قابلیت انحلال در محیط کشت را نیز دارد. برای تیمار ضربانی (Pulse Treatment) از غلظت نهایی ۵ میکرومولار در محیط کشت استفاده شد. برای القای تمایز استئوبلاستی، hMSC در فلاسک‌های T75 کشت داده شدند. بعد از اینکه سلول‌ها به هم‌شاری ۳۰-۴۰ درصد رسیدند، تحت تیمار ضربانی با ۵ میکرومولار داروی زولدرونیک اسید به مدت ۳ ساعت قرار گرفتند [۱۱]. سپس محیط کشت تخلیه شده و با PBS (Phosphate Buffered Saline) شستشو داده شد. در نهایت محیط تمایزی روی آن‌ها اضافه شد

بردارد [۱۴]. تغییرات اپی‌ژنتیکی به علت قابلیت تغییر در مقایسه با تغییرات ژنتیکی هدف‌های مناسب‌تری در ایجاد درمان‌های جدید است. در عین حال این پدیده‌ها می‌تواند بسیاری از خصوصیات پدیده‌های ژنتیکی مانند توارث، تغییر عملکرد ژن‌ها و غیره را شبیه‌سازی کند [۱۵]. تحقیقات اخیر اهمیت متیلاسیون اختصاصی ژن‌ها (Gene Specific Methylation) در فرایندهای سلولی همانند تمایز را نشان می‌دهد. بنابراین تعیین وضعیت متیلاسیون ژن‌های اختصاصی در تمایز استئوبلاستیک همانند RUNX2 و DLX5 در طول تمایز MSCs تیمار شده با داروی زولدرونیک اسید داری اهمیت خواهد بود.

هدف از تحقیق حاضر شناخت بیشتر مکانیسم‌های اپی‌ژنتیکی مؤثر در تمایز MSCs به استئوبلاست تحت تیمار با داروی زولدرونیک اسید است. بنابراین وضعیت متیلاسیون ژن‌های RUNX2 و DLX5 در طول تمایز استئوبلاستیک MSCs تیمار شده با داروی زولدرونیک اسید با استفاده از روش PCR اختصاصی متیلاسیون (Methylation Specific PCR: MSP) بررسی شد.

۲- مواد و روش‌ها

۲-۱- جداسازی و کشت MSCs

حدود ۱۰ میلی‌لیتر از مغز استخوان انسانی پس از کسب رضایت از یک اهدا کننده سالم که از بخش پیوند مغز استخوان بیمارستان شریعتی تهیه شده بود در یک لوله هپارینه به آزمایشگاه کشت سلولی منتقل شد. جداسازی سلول‌های تک هسته‌ای با استفاده از فایکول و ساتریفورژ شیب غلظتی صورت گرفت. سلول‌های تک هسته‌ای بعد از شستشو با بافر HBSS (Hank's Buffered Salt Solution) در فلاسک کشت سلول T75 به همراه ۲۰ میلی‌لیتر محیط کشت DMEM-low glucose (Gibco) و ۱۰ درصد FBS (Fetal Bovine Serum) و ۱۰۰ واحد بر میلی‌لیتر پنی‌سیلین و ۱۰۰ میکروگرم بر میلی‌لیتر استرپتومایسین (Streptomycin) در انکوباتور ۳۷ درجه

روی ژل آگارز بررسی شد. مقدار DNA استخراج شده به واسطه جذب در طول موج ۲۶۰ نانومتر اندازه گیری شد. خلوص DNA استخراج شده از طریق نسبت جذب در طول موج ۲۶۰ نانومتر به ۲۸۰ نانومتر سنجیده شد.

و به مدت ۲۱ روز کشت داده شدند. علاوه بر سلول های تیمار شده با زولدرونیک اسید، MSCs بدون تیمار به عنوان کنترل کشت داده شدند.

۲-۳- رنگ آمیزی آلیزارین قرمز (Alizarin Red)

برای تأیید تمایز استئوبلاستی از رنگ آمیزی آلیزارین قرمز استفاده شد. بدین منظور MSCs در پلیت های ۶ خانه ای کشت داده شدند. گروهی از سلول ها با زولدرونیک اسید تیمار شدند و گروهی هم به عنوان کنترل بدون تیمار کشت داده شدند. رنگ آمیزی آلیزارین قرمز در روز ۲۱ کشت انجام گرفت. برای این منظور محیط کشت تخلیه شد و سلول ها با PBS شستشو شدند. سپس سلول ها با فرمالدهید ۴۰ درصد تثبیت شده و مجدداً با PBS شستشو شدند. در نهایت رنگ آلیزارین قرمز ۱ درصد اضافه شد و به مدت ۳۰ دقیقه انکوبه شدند. سپس با آب مقطر شستشو شده و در زیر میکروسکوپ از نظر وجود رسوب های قرمز رنگ کلسیم ارزیابی شدند.

۲-۴- استخراج DNA

MSC DNA ها و MSC های تیمار شده با داروی زولدرونیک اسید در هفته اول، دوم و سوم با استفاده از کیت استخراج DNA شرکت Roche براساس برنامه پیشنهادی کیت استخراج شدند. به طور خلاصه، سلول ها ترپسینه شده و پس از شستشو در ۲۰۰ میکرولیتر، PBS سوسپانسیون شدند. از هر فلاسک T75 حدود 3×10^6 سلول استحصال شد. ۲۰۰ میکرولیتر بافر اتصالی (Binding) و ۴۰ میکرولیتر پروتئیناز K افزوده شد و ۱۰ دقیقه در دمای ۷۰ درجه سانتی گراد انکوبه شدند. سپس ۱۰۰ میکرولیتر ایزوپروپانول اضافه شده و به فیلتر تیوب منتقل شد و سانتریفوژ شد. فیلتر تیوب یک مرحله با بافر ممانعت کننده و ۲ مرحله با بافر شستشو، شستشو داده شد. در نهایت ۵۰ میکرولیتر بافر الوشن (Elution) اضافه و سانتریفوژ شد و بدین ترتیب استخراج DNA انجام شد. کیفیت DNA استخراج شده با الکتروفورز

۲-۵- تیمار DNA با سدیم بی سولفیت و آنزیم Sss1

قبل از انجام MSP، DNA استخراج شده با سدیم بی سولفیت (Sodium Bisulfite: SBS) تیمار شد. برای این منظور ۱۰ میکرولیتر DNA (حدود ۱ میکروگرم) به ۴۰ میکرولیتر آب مقطر دیونیزه اضافه شد و ۵/۵ میکرولیتر NaOH ۲ مولار به آن افزوده و ۲۰ دقیقه در ۳۷ درجه سانتی گراد انکوبه شد. به ترتیب ۳۰ میکرولیتر هیدروکینون ۱۰ میلی مولار تازه تهیه شده و ۵۲۰ میکرولیتر سدیم بی سولفیت ۳ مولار تازه تهیه شده به تیوب اضافه شد و در نهایت به کمک روغن معدنی سطح محلول پوشانده شد. سپس ۱۶ ساعت در دمای ۵۰ درجه سانتی گراد انکوبه شد. DNA با استفاده از کیت Roche از محلول استخراج و در این مرحله دسولفوناسیون (Desulfonation) روی DNA انجام شد. برای این منظور ۲۲ میکرولیتر از هیدروکسید سدیم ۳ مولار به آن اضافه شده و به مدت ۵ دقیقه در دمای اتاق انکوبه شد. سپس DNA به روش اتانول استات آمونیوم رسوب کرده و در ۳۰ میکرولیتر آب مقطر دو بار تقطیر حل شد.

برای تهیه DNA متیله به عنوان کنترل مثبت از آنزیم Sss1 شرکت New England Biolabs براساس برنامه پیشنهادی کیت استفاده شد [۱۸]. بدین منظور ۶ میکرولیتر DNA خون محیطی به همراه ۱۰ میکرولیتر بافر ۱۰X، ۰/۵ میکرولیتر S-آدنوزیل متیونین ۳۲ میلی مولار، ۲ میکرولیتر آنزیم Sss1 با آب مقطر به حجم ۱۰۰ میکرولیتر رسید. مخلوط متیلاسیون به مدت ۱/۵ ساعت در دمای ۳۷ درجه سانتی گراد انکوبه شد. سپس DNA متیله با استفاده از کیت، استخراج شد. DNA متیله حاصل به عنوان کنترل مثبت در MSP با آغازگر متیله (M) استفاده شد.

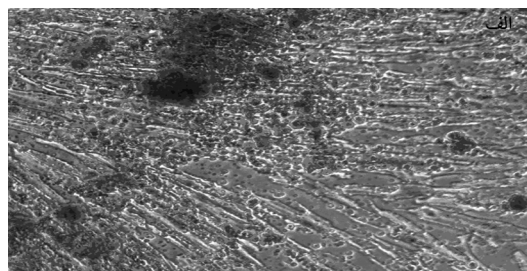
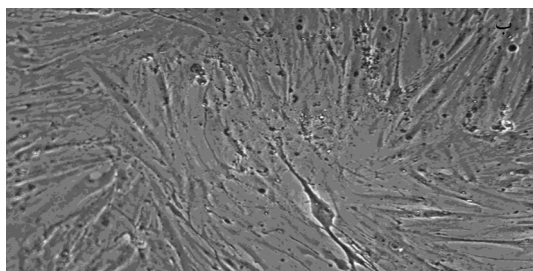
MSP - ۶-۲

MSP با استفاده از آغازگرهای اختصاصی متیله (M) و غیرمتیله (U) که قادر به تشخیص DNA متیله و غیرمتیله هستند، روی DNA استخراج شده از نمونه‌های به دست آمده از MSCs در روزهای ۰، ۷، ۱۴ و ۲۱ تیمار شده با داروی زولدرونیک اسید، به صورت سه‌گانه (Triplicate) انجام شد. طراحی آغازگرها با استفاده از نرم‌افزار بر خط Methprimer صورت

گرفت [۱۹]. آغازگرهای مورد استفاده برای تشخیص متیلاسیون در جدول ۱ آورده شده است. مخلوط واکنش PCR محتوی بافر ۱۰X، مخلوط dNTP (هر کدام ۱/۲۵ میلی‌مولار)، آغازگرها (۰/۵ میکرومولار)، $MgCl_2$ ۲ میلی‌مولار، Dimethyl DMSO (۱/۲۵ Sulfoxide) ۴-۱ درصد، واحد آنزیم Taq DNA Polymerase (Fermentase) و DNA تیمار شده با SBS (۵۰ نانوگرم) در حجم نهایی ۲۵ میکرولیتر تهیه شد.

جدول ۱ توالی آغازگرهای M و U ژن RUNX2 و DLX5

اندازه باند (جفت‌باز)	توالی آغازگر	نام آغازگر	نام ژن
۹۳	TTTCGGAAATTGTATACGGCGC	RUNX2MF	RUNX2
	AACAACGAATCTCGAACCTACG	RUNX2MR	
۹۶	GGTTTTGGAAATTGTATATGGTGT	RUNX2UF	RUNX2
	AAACAACAAATCTCAAACCTACA	RUNX2UR	
۱۵۰	TGGGGAATAAAGGTATACGTTATC	DLX5MF	DLX5
	ACATAACTTCTTAACGATAAACCGC	DLX5MR	
۱۴۷	GGGGAATAAAGGTATATGTTATTGG	DLX5UF	DLX5
	CATAACTTCTTAACAATAAACCCACA	DLX5UR	



شکل ۱ رنگ‌آمیزی آلزارین قرمز؛ الف) سلول‌های تمایز یافته استئوبلاستی تیمار شده با زولدرونیک اسید در روز ۲۱ تمایز، ب) MSC ها

حالی که MSCs برای این رنگ‌آمیزی منفی بودند و هیچ‌گونه رسوب کلسیم در آن‌ها مشاهده نشد (شکل ۱، ب).

۳- نتایج

۳-۱- تأیید تمایز استئوبلاستیک با رنگ‌آمیزی آلزارین

قرمز

رنگ‌آمیزی آلزارین قرمز رسوب توده‌های کلسیمی را که در این رنگ‌آمیزی به رنگ قرمز دیده می‌شوند، در سلول‌های تمایز یافته استئوبلاستی تیمار شده با زولدرونیک اسید (روز ۲۱ تمایز) نشان داد (شکل ۱، الف). مشاهده رسوب توده‌های کلسیمی تأییدی بر تمایز استئوبلاستیک MSCs است. در

۳-۲- وضعیت متیلاسیون RUNX2 و DLX5

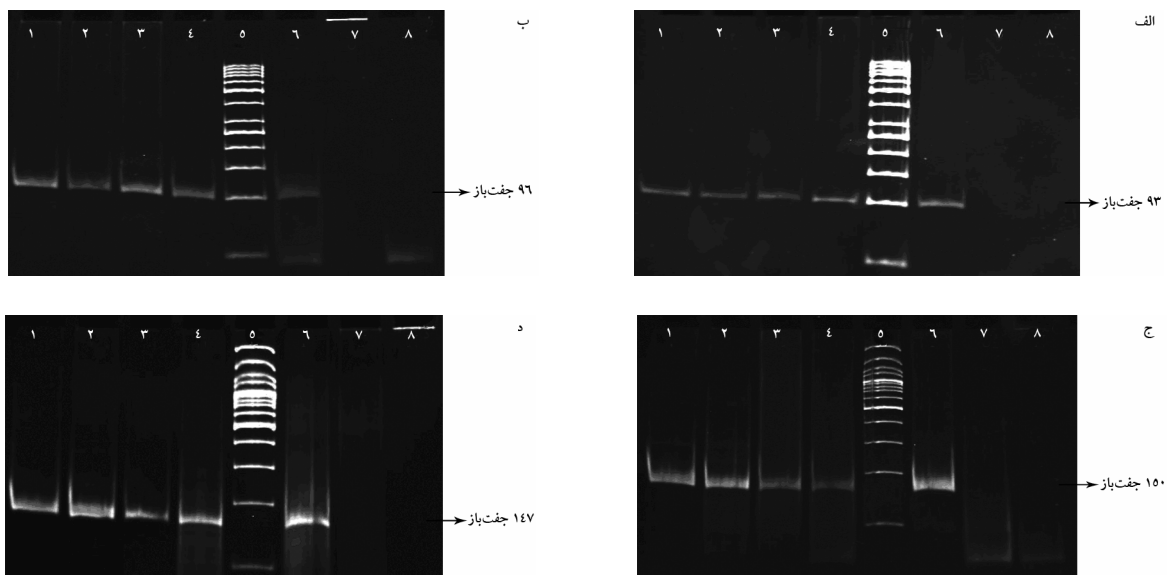
در تمایز استئوبلاستیک MSCs تیمار شده با

زولدرونیک اسید

داروهای متعددی به واسطه مکانیسم‌های اپی‌ژنتیکی همانند تغییر متیلاسیون ژنوم، پیرایش‌های هیستونی و غیره اعمال اثر

نشده است. بر این اساس در این تحقیق تأثیر داروی زولدرونیک اسید روی متیلاسیون پرموتر ژن‌های RUNX2 و DLX5 ارزیابی شد. در این تحقیق مشخص شد که الگوی متیلاسیون ژن‌های RUNX2 و DLX5 در طول تمایز استئوبلاستیک MSCs تیمار شده با داروی زولدرونیک اسید در سلول‌های تمایز یافته استئوبلاستی و MSCs مشابه است. در این الگو ناحیه پرموتر ژن‌های RUNX2 و DLX5 در وضعیت متیلاسیون ناقص قرار دارند. نتایج MSP با آغازگرهای M و U برای ژن‌های RUNX2 و DLX5 در سلول‌های تمایز یافته استئوبلاستی و MSCs مثبت بود (شکل ۲).

می‌کند. پیتروسکا (Piotrowska) و همکارانش نشان دادند که تریکوآستاتین A (Trichostatin A)، سدیم بوتیرات (Sodium Butyrate)، ۵-آزا-۲-داکسی سیتیدین (5-Aza-2'-deoxycytidine) به واسطه تغییرات اپی ژنتیکی منجر به افزایش بیان گیرنده α گلوکوکورتیکوئیدی در بدخیمی‌های خونی و بیماری‌های خود ایمن می‌شوند [۲۰]. میلو تینوویچ (Milutinovic) و همکارانش نشان دادند که داروی والپروآت (Valproate) در درمان اپی لپسی (Epilepsy) و میگرن با تغییر استیلاسیون هیستون‌ها و متیلاسیون ژن‌های خاص اعمال اثر می‌کند [۲۱]. از طرفی مکانیسم اثر داروی زولدرونیک اسید در القای تمایز استئوبلاستیک MSCs هنوز به خوبی شناخته



شکل ۲ نتایج MSP با آغازگرهای M (متیله) و U (غیرمتیله) بر روی ژن‌های RUNX2 و DLX5: الف) ژن RUNX2 آغازگر متیله؛ ب) ژن RUNX2 آغازگر غیرمتیله؛ ج) ژن DLX5 آغازگر متیله؛ د) ژن DLX5 آغازگر غیرمتیله؛ ستون ۱) MSC تیمار نشده، ستون ۲) MSC تیمار شده بعد از یک هفته، ستون ۳) MSC تیمار شده بعد از دو هفته، ستون ۴) MSC تیمار شده بعد از سه هفته، ستون ۵) مربوط به Ladder، ستون ۶) کنترل مثبت، ستون ۷) DNA تیمار نشده، ستون ۸) کنترل منفی

۴- بحث

مردان بالای ۵۰ سال در معرض ابتلا به استئوپوروز قرار دارند. این عارضه سالانه هزینه‌های درمانی بسیار بالایی را به خود اختصاص می‌دهد. درمان‌های رایج استئوپوروز به واسطه مهار بازجذب استخوان از طریق مهار تمایز استئوکلاست‌ها و

یکی از مهم‌ترین بیماری‌های استخوانی، استئوپوروز است. استئوپوروز به واسطه کاهش توده استخوانی و افزایش شکنندگی استخوان‌ها مشخص می‌شود. ۵۰ درصد زنان و ۲۰ درصد

پرنیلاسیون این آنزیم‌ها منجر به فعال شدن آن‌ها می‌شود. این آنزیم‌ها فرایندهای متعدد داخل سلولی را که برای ریخت‌شناسی، عملکرد و بقای استئوکلاست‌ها ضروری هستند را تنظیم می‌کند. این فرایندها شامل پاسخ به محرک‌هایی همانند نظم اسکلت سلولی، چین‌خوردگی غشایی و مرگ برنامه‌ریزی شده سلولی (Apoptosis) می‌شود [۲۷، ۲۸]. در نتیجه عملکرد استئوکلاست‌ها مختل شده و منجر به آثار توقف رشد و تکثیر سلولی می‌شود و در نهایت مرگ برنامه‌ریزی شده سلولی را در استئوکلاست‌ها القا می‌کند [۲۴].

زولدرونیک اسید دارای دومین اتم نیتروژن در حلقه ایمیدازول بوده و قوی‌ترین بی‌فسفونات شناخته شده تا به حال است. این دارو برای پیشگیری از شکستگی‌های اسکلتی در بیماران مختلف استفاده می‌شود. در سال ۲۰۰۷، FDA مجوز استفاده از این دارو برای درمان استئوپوروز در زنان یائسه را صادر کرد. زولدرونیک اسید پتانسیل و ویژگی‌های فارماکولوژیک بالاتری نسبت به سایر بی‌فسفونات‌ها دارد. تحقیقات مختلف مکانیسم‌های اثر متعددی را برای زولدرونیک اسید روی استئوکلاست‌ها عنوان کرده است که عبارتند از مهار بلوغ استئوکلاست‌ها، مهار فراخوانی استئوکلاست‌ها به موضع بازجذب استخوان، مهار عملکرد استئوکلاست‌های بالغ [۲۹]. کاهش تولید سیتوکین‌ها همانند اینترلوکین ۱ (Interleukin 1: IL-1)، فعالیت ضد توموری مستقیم (متوقف کننده رشد و تکثیر سلولی و سلول‌کشی) [۳۰-۳۲]، مهار انتشار، مهاجم و چسبندگی به ماتریکس استخوانی سلول‌های توموری [۳۳].

تحقیقات اخیر نشان داده است که زولدرونیک اسید علاوه بر مهار استئوکلاست‌ها، می‌تواند منجر به تمایز MSCs به استئوبلاست‌ها شود ولی مکانیسم اثر این دارو بر MSCs و استئوبلاست‌ها به خوبی شناخته نشده است. مصرف زولدرونیک اسید میزان شکستگی مهره‌ها را به شدت کاهش می‌دهد و چگالی استخوان‌ها را بهبود می‌بخشد [۱۰]. تحقیقات نشان داده است که بیان ژن‌های شاخص استئوژنیک (Osteogenic Index) همانند استئوکالسن (Osteocalcin) و استئوپونین (Osteopontin) به دوز داروی زولدرونیک اسید

فعالیت آن‌ها صورت می‌گیرد. اما این‌گونه درمان‌ها تنها بازجذب استخوان را مهار کرده و نمی‌توانند منابع استخوانی از دست رفته را احیا کنند. از سوی دیگر، داروهایی توسعه پیدا کرده است که مکانیسم اثر آن‌ها به واسطه افزایش استخوان‌سازی و مهار فعالیت استئوکلاست‌ها است. بنابراین استفاده از این گونه داروها و شناخت مکانیسم‌های اثر آن بر تمایز استئوبلاستی اهمیت دارد.

بی‌فسفونات‌ها آنالوگ‌های پیروفسفاتی هستند که به فسفات کلسیم باند می‌شوند و به عنوان عواملی قوی و مؤثر بر تجزیه استخوانی عمل می‌کنند. کلودرونات بی‌فسفونات (Clodronate Bisphosphonates) غیرنیتروژنه نسل اول است. سایر بی‌فسفونات‌ها عبارت‌اند از پامیدرونات (Pamidronate)، آلندرونات (Alendronate)، ایباندرونات (Ibandronate)، ریزدرونات (Risedronate) و زولدرونیک اسید که در بین این عوامل، زولدرونیک اسید نسبت به سایر عوامل قوی‌تر است. اسید زولدرونیک یک اسید بی‌فسفونات منوهیدرات است که به نام شیمیایی ۱-هیدروکسی-۲-ایمیدازول-۱-یل-فسفونواتیل شناخته می‌شود [۲۲]. مکانیسم اولیه شناخته شده برای عملکرد بی‌فسفونات‌ها این بود که بی‌فسفونات‌ها در ماتریکس زیست‌کافی شده استخوان تجمع می‌یابند و آن را در مقابل تجزیه توسط استئوکلاست‌ها مقاوم می‌کنند. اما با گذشت زمان آثار مولکولی و سلولی این دارو بر استئوکلاست‌ها مشخص شد. بی‌فسفونات‌های نیتروژن‌دار، مکانیسم اثر منحصر به فردی دارند که به توانایی آن‌ها در مهار مسیر سنتز موالونات (Mevalonate) مربوط می‌شود [۲۳-۲۶]. برخلاف داروهای نسل اول این رده که به آنالوگ‌های سیتوتوکسیک آدنوزین تری فسفات متابولیزه می‌شوند، بی‌فسفونات‌های نیتروژن‌دار، فعالیت فارتسیل دی فسفات سنتاز (Farnesyl Diphosphate Synthase) را که آنزیم کلیدی مسیر موالونات است، مهار می‌کند. مسیر موالونات مسئول بیوسنتز کلاسترول، سایر استرول‌ها و لیپیدهای ایزوپرنوئید است. ترکیبات اخیر برای پرنیلاسیون (Prenylation) آنزیم‌های کوچک همانند GTPase ها مورد نیاز است.

افزایش می‌یابد [۱]. این نتایج می‌تواند نمایانگر آن باشد که داروی زولدرونیک اسید به واسطه مکانیسم‌های اپی ژنتیکی به‌ویژه متیلاسیون پروموتور منجر به تمایز استئوبلاستیک MSCs نمی‌شود. مکانیسم اثر داروی زولدرونیک اسید در القای تمایز MSCs می‌تواند یک مسیر مستقل از متیلاسیون ژن‌های RUNX2 و DLX5 باشد. از طرفی، تحقیقات اخیر نشان داده است که مهار مسیر مولونات در سلول‌های بنیادی رویانی (Embryonic Stem Cells: ESC) قدرت خود بازسازی این سلول‌ها را به واسطه مهار پرنیلاسیون پروتئین Rho GTPase مهار می‌کند. این امر نشان می‌دهد که مهار مسیر مولونات در ESC با مهار تکثیر همراه است [۳۷]. مهار این مسیر می‌تواند یکی از مکانیسم‌های پیشنهادی اثر داروی زولدرونیک اسید باشد.

۵- تشکر و قدردانی

این تحقیق حاصل پایان‌نامه دکتری رشته خون‌شناسی آزمایشگاهی و بانک خون است و با حمایت مالی دانشکده علوم پزشکی دانشگاه تربیت مدرس انجام شده است. از نمایندگی شرکت Novartis و آقای دکتر جعفری به دلیل تأمین داروی زولدرونیک اسید و مرکز تحقیقات سلولی مولکولی و سلول‌های بنیادی صارم به دلیل در اختیار گذاشتن آزمایشگاه و بعضی مواد نهایت تشکر و قدردانی را داریم.

بستگی دارد؛ به طوری که با کاهش دوز داروی زولدرونیک اسید بیان استئوکلسین و استئوپونین در طول تمایز استئوبلاستیک کاهش پیدا می‌کند [۳۴]. تحقیق دیگری نشان داد زولدرونیک اسید نشانگرهای ساخت و ساز استخوانی و چگالی استخوان را در بیماران بتا-تالاسمی (Beta-Thalassemia) مبتلا به استئوپورز بهبود می‌بخشد [۳۵]. درمان کوتاه مدت با زولدرونیک اسید چگالی استخوانی و پیشتازهای فیبروبلاستیک مغز استخوان را بعد از پیوند هم‌گونه (Autologus Transplantation) سلول بنیادی افزایش می‌دهد [۳۶]. زولدرونیک اسید در غلظت‌های ۲۰ و ۵۰ میکرومولار در شرایط آزمایشگاهی برای مدت بیش از ۲۴ ساعت منجر به مهار تکثیر و القای مرگ برنامه‌ریزی شده سلولی MSC می‌شود. در حالی که تأثیر ضربانی آن برای ۳ تا ۶ ساعت در غلظت ۵ میکرومولار و سپس کشت به مدت ۲ هفته تحت شرایط استئوژنیک منجر به حفظ نشانگرهای استئوژنیک در hMSC می‌شود [۱۱].

در تحقیق حاضر پس از تیمار MSCs با داروی زولدرونیک اسید، وضعیت متیلاسیون پروموتور RUNX2 و DLX5 به منظور بررسی مکانیسم تأثیر دارو ارزیابی شد. نتایج نشان داد که تیمار با زولدرونیک اسید هرچند موجب تمایز MSCs به استئوبلاست می‌شود، وضعیت متیلاسیون پروموتور RUNX2 و DLX5 در طول تمایز استئوبلاستیک MSCs را تغییر نمی‌دهد. در حالی که تحقیقات نشان داده است که بیان این فاکتورهای نسخه‌برداری در طول تمایز استئوبلاستی

۶- منابع

- [1] Schroeder TM, Jensen ED, Westendorf JJ. Runx2: a master organizer of gene transcription in developing and maturing osteoblasts. *Birth Defects Res C Embryo Today* 2005; 75(3): 213-25.
- [2] Acampora D, Merlo GR, Paleari L, Zerega B, Postiglione MP, Mantero S, Bober E, Barbieri O, Simeone A, Levi G. Craniofacial, vestibular and bone defects in mice lacking the Distal-less-related gene *Dlx5*. *Development* 1999; 126(17): 3795-809.
- [3] Zhang J, Zhu J, Valverde P, Li L, Pageau S, Tu Q, Nishimura R, Yoneda T, Yang P, Zheng W, Ma W, Chen J. Phenotypic analysis of *Dlx5* overexpression in post-natal bone. *J Dent Res* 2008; 87(1): 45-50.

- [4] Yin T, Li L. The stem cell niches in bone. *J Clin Invest* 2006; 116(5): 1195-201.
- [5] Minguell JJ, Erices A, Conget P. Mesenchymal stem cells. *Exp Biol Med (Maywood)* 2001; 226(6): 507-20.
- [6] Dominici M, Le Blanc K, Mueller I, Slaper-Cortenbach I, Marini F, Krause D, Deans R, Keating A, Prockop Dj, Horwitz E. Minimal criteria for defining multipotent mesenchymal stromal cells. The International Society for Cellular Therapy position statement. *Cytotherapy* 2006; 8(4): 315-7.
- [7] Krampera M, Pizzolo G, Aprili G, Franchini M. Mesenchymal stem cells for bone, cartilage, tendon and skeletal muscle repair. *Bone* 2006; 39(4): 678-83.
- [8] Krampera M, Pasini A, Pizzolo G, Cosmi L, Romagnani S, Annunziato F. Regenerative and immunomodulatory potential of mesenchymal stem cells. *Curr Opin Pharmacol* 2006; 6(4): 435-41.
- [9] Barry FP, Murphy JM. Mesenchymal stem cells: clinical applications and biological characterization. *Int J Biochem Cell Biol* 2004; 36(4): 568-84.
- [10] Black DM, Delmas PD, Eastell R, Reid IR, Boonen S, Cauley JA, Cosman F, Lakatos P, Leung PC, Man Z, Mautalen C, Mesenbrink P, Hu H, Caminis J, Tong K, Rosario-Jansen T, Krasnow J, Hue TF, Sellmeyer D, Eriksen EF, Cummings SR; HORIZON Pivotal Fracture Trial. Once-yearly zoledronic acid for treatment of postmenopausal osteoporosis. *N Engl J Med* 2007; 356(18): 1809-22.
- [11] Ebert R, Zeck S, Krug R, Meissner-Weigl J, Schneider D, Seefried L, Eulert J, Jakob F. Pulse treatment with zoledronic acid causes sustained commitment of bone marrow derived mesenchymal stem cells for osteogenic differentiation. *Bone* 2009; 44(5): 858-64.
- [12] Ezura Y, Sekiya I, Koga H, Muneta T, Noda M. Methylation status of CpG islands in the promoter regions of signature genes during chondrogenesis of human synovium-derived mesenchymal stem cells. *Arthritis Rheum* 2009; 60(5): 1416-26.
- [13] Kang MI, Kim HS, Jung YC, Kim YH, Hong SJ, Kim MK, Baek KH, Kim CC, Rhyu MG. Transitional CpG methylation between promoters and retroelements of tissue-specific genes during human mesenchymal cell differentiation. *J Cell Biochem* 2007; 102(1): 224-39.
- [14] Tarfiei GA, Noruzinia M, Soleimani M, Kaviani S, Mahmoodinia Maymand M, Farshdousti Hagh M, Pujol P. ROR2 promoter methylation change in osteoblastic differentiation of mesenchymal stem cells. *CJY*, In Press.
- [15] Whitelaw NC, Whitelaw E. Transgenerational epigenetic inheritance in health and disease. *Curr Opin Genet Dev* 2008; 18(3): 273-9.
- [16] Freshney RI, Stacey GN, Auerbac JM. *Culture of Human Stem Cells*. 2007, New York: John Wiley & Sons, Inc. p: 45-90.
- [17] Kazemnejad S, Allameh A, Soleimani M, Gharehbaghian A, Mohammadi Y, Amirzadeh N, Jazayeri M. Biochemical and molecular characterization of hepatocyte-like cells derived from human bone marrow mesenchymal stem cells on a novel three-

- dimensional biocompatible nanofibrous scaffold. *J Gastroenterol Hepatol* 2009; 24(2): 278-87.
- [18] CpG Methyltransferase (M.Sssl). <http://www.neb.com/nebecomm/products/productM0226.asp>
- [19] MethPrimer-Design Primers for Methylation PCRs. <http://www.urogene.org/methprimer/index1.html>
- [20] Piotrowska H, Jagodzinski PP. Trichostatin A, sodium butyrate, and 5-aza-2'-deoxycytidine alter the expression of glucocorticoid receptor alpha and beta isoforms in Hut-78 T- and Raji B-lymphoma cell lines. *Biomed Pharmacother* 2007; 61(7): 451-4.
- [21] Milutinovic S, D'Alessio AC, Detich N, Szyf M. Valproate induces widespread epigenetic reprogramming which involves demethylation of specific genes. *Carcinogenesis* 2007; 28(3): 560-71.
- [22] Green JR, Müller K, Jaeggi KA. Preclinical pharmacology of CGP 42'446, a new, potent, heterocyclic bisphosphonate compound. *J Bone Miner Res* 1994; 9(5): 745-51.
- [23] Russell RG, Croucher PI, Rogers MJ. Bisphosphonates: pharmacology, mechanisms of action and clinical uses. *Osteoporos Int* 1999; 9(2): S66-80.
- [24] Russell RG, Rogers MJ, Frith JC, Luckman SP, Coxon FP, Benford HL, Croucher PI, Shipman C, Fleisch HA. The pharmacology of bisphosphonates and new insights into their mechanisms of action. *J Bone Miner Res* 1999; 14 Suppl 2: 53-65.
- [25] Luckman SP, Hughes DE, Coxon FP, Graham R, Russell G, Rogers MJ. Nitrogen-containing bisphosphonates inhibit the mevalonate pathway and prevent post-translational prenylation of GTP-binding proteins, including Ras. *J Bone Miner Res* 1998; 13(4): 581-9.
- [26] Rogers MJ, Gordon S, Benford HL, Coxon FP, Luckman SP, Monkkonen J, Frith JC. Cellular and molecular mechanisms of action of bisphosphonates. *Cancer* 2000; 88(12 Suppl): 2961-78.
- [27] Zhang FL, Casey PJ. Protein prenylation: molecular mechanisms and functional consequences. *Annu Rev Biochem* 1996; 65: 241-69.
- [28] Oliff A. Farnesyltransferase inhibitors: targeting the molecular basis of cancer. *Biochim Biophys Acta* 1999; 1423(3): C19-30.
- [29] Evans CE, Braidman IP. Effects of two novel bisphosphonates on bone cells in vitro. *Bone Miner* 1994; 26(2): 95-107.
- [30] Aparicio A, Gardner A, Tu Y, Savage A, Berenson J, Lichtenstein A. In vitro cytoreductive effects on multiple myeloma cells induced by bisphosphonates. *Leukemia* 1998; 12(2): 220-9.
- [31] Fromigue O, Lagneaux L, Body JJ. Bisphosphonates induce breast cancer cell death in vitro. *J Bone Miner Res* 2000; 15(11): 2211-21.
- [32] Senaratne SG, Pirianov G, Mansi JL, Arnett TR, Colston KW. Bisphosphonates induce apoptosis in human breast cancer cell lines. *Br J Cancer* 2000; 82(8): 1459-68.
- [33] Boissier S, Ferreras M, Peyruchaud O, Mignetto S, Ebetino FH, Colombel M, Delmas P, Delaissé JM, Clézardin P. Bisphosphonates inhibit breast and prostate carcinoma cell invasion, an early event in the formation of bone

- metastases. *Cancer Res* 2000; 60(11): 2949-54.
- [34] Malaval L, Liu F, Roche P, Aubin JE. Kinetics of osteoprogenitor proliferation and osteoblast differentiation in vitro. *J Cell Biochem* 1999; 74(4): 616-27.
- [35] Perifanis V, Vyzantiadis T, Tziomalos K, Vakalopoulou S, Garipidou V, Athanassiou-Metaxa M, Harsoulis F. Effect of zoledronic acid on markers of bone turnover and mineral density in osteoporotic patients with beta-thalassaemia. *Ann Hematol* 2007; 86(1): 23-30.
- [36] Tauchmanová L, Ricci P, Serio B, Lombardi G, Colao A, Rotoli B, Selleri C. Short-term zoledronic acid treatment increases bone mineral density and marrow clonogenic fibroblast progenitors after allogeneic stem cell transplantation. *J Clin Endocrinol Metab* 2005; 90(2): 627-34.
- [37] Lee MH, Cho YS, Han YM. Simvastatin suppresses self-renewal of mouse embryonic stem cells by inhibiting RhoA geranylgeranylation. *Stem Cells* 2007; 25(7): 1654-63.